
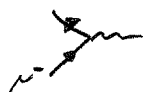
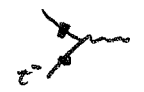


Einschub; mehr zum magnetischen Moment der Leptonen

(s.S. 36/37) ; magn. Moment der anderen Leptonen verschieden von μ_e ?

Massen (e^-, μ^-, τ^-) $\approx (0.511, 105.7, 1780)$ MeV

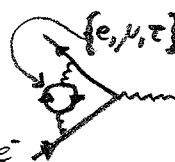
1. Ordnung:  $\Rightarrow \mu_e = \frac{e}{2m_e} \equiv \mu_B$, $\frac{\mu_e}{\mu_B} = 1$ (in 1. Ordng)

also  $\Rightarrow \mu_\mu = \frac{e}{2m_\mu}$,  $\Rightarrow \mu_\tau = \frac{e}{2m_\tau}$

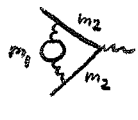
3. Ordnung: wichtigstes Diagramm  \Rightarrow Korrektur $\frac{\delta\mu_e^{(1)}}{\mu_B} = \frac{e^2}{8\pi^2} = \frac{\alpha_{EM}}{2\pi}$

((diese Korrektur kommt vom Schleifenintegral (vgl. Regel 5), in dessen Integrand die Propagatoren (vgl. Regel 3) stehen. Propagatoren enthalten Massen (hier: m_e), da als Korrektur (zu $\frac{\mu_e}{\mu_B} = 1$) aber dim.-lose Zahl herauskommen muss, kann das Ergebnis nicht von m_e abhängen $\Rightarrow \frac{1}{2} \cdot \frac{\alpha_{EM}}{\pi}$))

also z.B.  \Rightarrow Korrektur $\frac{\delta\mu_\mu^{(1)}}{e/2m_\mu} = \frac{\alpha_{EM}}{2\pi} = \frac{\delta\mu_e^{(1)}}{e/2m_e}$!

5. Ordnung: wichtigstes Diagramm:  $\Rightarrow \frac{\delta\mu_e^{(2)}}{\mu_B} = \left(\frac{\alpha_{EM}}{\pi}\right)^2 \sum_{i \in \{e, \mu, \tau\}} a\left(\frac{m_i}{m_e}\right)$

((wobei die Korrektur vom Zwei-Schleifenintegral kommt:

 $\sim a\left(\frac{m_i}{m_j}\right)$ muss wieder Zahl sein, kann also nur vom Verhältnis der Massen abhängen

dieses Integral ist berechnet [Li/Mandel/Samuel, PRD 47 (1993) 1723]

wobei z.B. $a(1) = \frac{119}{36} - \frac{\pi^2}{3} \approx 0.016$

$a(\epsilon) = -\frac{1}{3} \ln(\epsilon) - \frac{25}{36} + O(\epsilon)$; $a\left(\frac{m_e}{m_\mu}\right) \approx a\left(\frac{1}{207}\right) \approx 1.08$

$a\left(\frac{1}{\epsilon}\right) = \frac{\epsilon^2}{45} + O(\epsilon^4)$; $a\left(\frac{m_e}{m_\tau}\right) \approx a(17) \approx 7.7 \cdot 10^{-5}$))

Fazit: Schleife mit dem leichtesten Teilchen, hier: e^- , gibt den größten Beitrag



also $\frac{\delta\mu_e^{(2)}}{e/2m_e} = \left(\frac{\alpha_{EM}}{\pi}\right)^2 [a(1) + a(207) + a(3483)] \approx 0.016 + 5.2 \cdot 10^{-7} + 1.8 \cdot 10^{-9}$

$\frac{\delta\mu_\mu^{(2)}}{e/2m_\mu} = \left(\frac{\alpha_{EM}}{\pi}\right)^2 [a\left(\frac{1}{207}\right) + a(1) + a(17)] \approx 1.08 + 0.016 + 7.7 \cdot 10^{-5}$

$\frac{\delta\mu_\tau^{(2)}}{e/2m_\tau} = \left(\frac{\alpha_{EM}}{\pi}\right)^2 [a\left(\frac{1}{3483}\right) + a\left(\frac{1}{17}\right) + a(1)] \approx 2.02 + 0.25 + 0.016$

Anwendung: Mott- und Rutherford-Formel

$m_\mu \approx 106 \text{ MeV} \gg m_e \approx 0.511 \text{ MeV}$

→ betrachte den Grenzwert $m_\mu \rightarrow \infty$

((CNS \approx Laborsystem ; das Nucleon ruht, Kollisionspunkt vernachlässigbar))



$p_1 = (E_1, \vec{p}_1), p_2 = (E_2, \vec{p}_2) = \gamma_\mu \left(\sqrt{1 + \frac{\vec{p}_1^2}{m_\mu^2}}, -\frac{\vec{p}_1}{m_\mu} \right) \approx (m_\mu, \vec{0})$

$q_A = (E_A, \vec{q}_A), q_B = (E_B, \vec{q}_B) = \gamma_\mu \left(\sqrt{1 + \frac{\vec{q}_A^2}{m_\mu^2}}, -\frac{\vec{q}_A}{m_\mu} \right) \approx (m_\mu, \vec{0})$

E-Erhaltung: $E_1 + m_\mu + O(\frac{1}{m_\mu}) \stackrel{!}{=} E_2 + m_\mu + O(\frac{1}{m_\mu}) \Rightarrow \vec{q}_A^2 = \vec{p}_1^2$

nach Ausführen der Phasenraumintegration haben wir (S. 5.32)

erhalten: $\frac{d\sigma}{d\Omega} = \frac{1}{(8\pi)^2} \frac{|\vec{p}_1|}{|\vec{q}_A|} \frac{|M|^2}{(E_1 + E_2)^2} = 1$ wegen E-Erhaltung

nutze das Ergebnis für $\langle |M|^2 \rangle$ von S. 39 einsetzen

hier: $(q_A - p_1)^2 = (E_1 - E_2)^2 - (\vec{q}_A - \vec{p}_1)^2 = -2\vec{q}_A^2(1 - \cos\theta) = -4\vec{q}_A^2 \sin^2 \frac{\theta}{2}$

$q_A \cdot q_B = p_1 \cdot p_2 = q_A \cdot p_2 = q_B \cdot p_1 = m_\mu E_A$

$q_A \cdot p_1 = E_1 E_1 - \vec{q}_A \cdot \vec{p}_1 = m_e^2 + \vec{q}_A^2 - \vec{q}_A^2 \cos\theta = m_e^2 + 2\vec{q}_A^2 \sin^2 \frac{\theta}{2}$

$q_B \cdot p_2 = m_\mu^2$

$E_1 + E_2 = m_\mu \left(\sqrt{1 + \frac{m_e^2 + \vec{q}_A^2}{m_\mu^2}} + 1 \right) \approx m_\mu + O(\frac{1}{m_\mu})$

$$\frac{1}{(8\pi)^2} \frac{1}{m_\mu^2} \frac{8e^4}{(-4\vec{q}_A^2 \sin^2 \frac{\theta}{2})^2} (2m_e^2 m_\mu^2 + 2m_\mu^2 \vec{q}_A^2 \cos^2 \frac{\theta}{2})$$

$$= \left(\frac{\alpha_{EM}}{2\vec{q}_A^2 \sin^2 \frac{\theta}{2}} \right)^2 (m_e^2 + \vec{q}_A^2 \cos^2 \frac{\theta}{2})$$
"Mott-Formel"

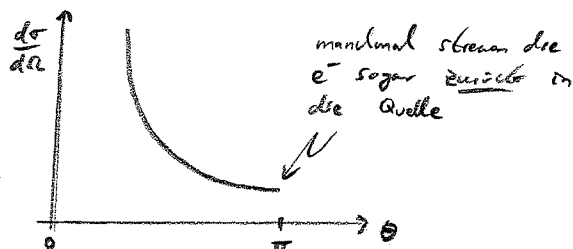
S. auch 429

Bem: • ist gute Näherung für e-p-Streuung, da $m_p \approx 938 \text{ MeV} \gg m_e$

falls das Elektron nichtrelativistisch ist (also $|\vec{q}_A| = m_e v \ll m_e$),

ergibt sich die "Rutherford-Formel":

$$\frac{d\sigma}{d\Omega} = \left(\frac{\alpha_{EM}}{2m_e v^2 \sin^2 \frac{\theta}{2}} \right)^2$$



5. Starke Wechselwirkungen, Quantenchromodynamik (QCD)

Im letzten Kapitel: QED, Theorie der elektromagnetischen Wechselwirkungen
 konvergiert sehr gut ($\alpha_{EM} \approx \frac{1}{137}$)
 experimentell extrem genau verifiziert (z.B. μ_e)
 → "langweilig"

jetzt: komplexere Wechselwirkungen
 viele verschiedene Näherungsmethoden, neue Begriffe
 → "impressionant"

Behandlung hier jedoch nur qualitativ.

QED ≡ Wechselwirkung geladener T.; Vermittlung: Photonen; Stärke: $g_e = \sqrt{4\pi\alpha_{EM}}$ ← Einheitsladung: e (Positron)
 QCD ≡ Wechselwirkung farbiger T.; Vermittlung: Gluonen; Stärke: $g_s = \sqrt{4\pi\alpha_s}$ ← Farb-Einheitsladung

Quantenmodell

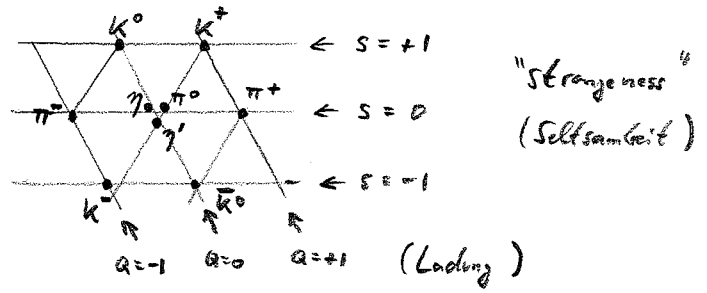
historisch: 1959-64; Gell-Mann, Ne'eman, Zweig
 siehe [D.W. Greenberg, Am. J. Phys. 50 (1982) 1074]

leichte Quarks: u ($m \approx 2.7 \text{ MeV}$), d ($\approx 5 \text{ MeV}$), s ($\approx 100 \text{ MeV}$)
 schwere Quarks: c ($m \approx 1.25 \text{ GeV}$), b ($\approx 4.2 \text{ GeV}$), t ($\approx 174 \text{ GeV}$)

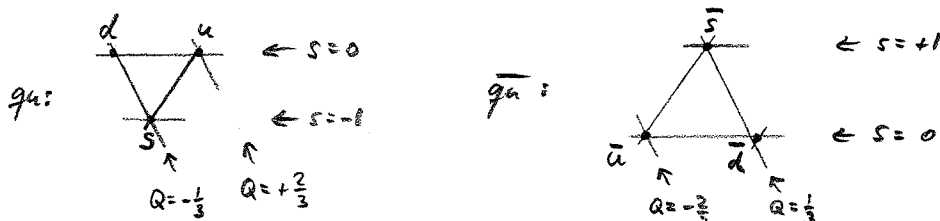
durch Beobachtung der leichtesten Mesonen (Resonanzen mit Spin $J=0, 1, \dots$
 bzw. Baryonen mit Spin $J = \frac{1}{2}, \frac{3}{2}, \dots$) kann man etwas über
 die leichten Quarks erfahren!

Klassifizierung durch Gell-Mann ("das Mandelstam über Teilchenphysik")

$J=0$ - Mesonen:
 "das achtfache Würfelsystem"
 (η' schwerer als andere 8)



Systematik: Meson = Quark + Antiquark



alle Kombinationen $\Rightarrow 3 \cdot 3 = 9$ Mesonen!

[Gruppentheorie: $3 \otimes \bar{3} = 8 \oplus 1$, $1 \equiv \eta'$]

funktioniert nicht nur für Spin-0 (TK, s.o.)

sondern auch für Spin-1 Mesonen (TK), Spin- $\frac{1}{2}$ Baryonen (TKV),

Spin- $\frac{3}{2}$ Baryonen (TKV)

Bestätigung des Quarkmodells: experimentell!

es "fehlte" eine Ecke im Baryonendehuplett (das Ω^- , sss).

1964 experimentell entdeckt.

((vgl. Mendelejew: es "fehlten" Gallium, Scandium, Germanium im seinem Periodensystem \rightarrow Vorhersage!))

Fragen • warum sieht man keine freien Quarks?

• steht z.B. sss nicht im Widerspruch zum Pauli-Prinzip?

\rightarrow neue Eigenschaft: Farbe.

Quarks haben drei Farben / Antifarben (nehmen nur r, g, b / $\bar{r}, \bar{g}, \bar{b}$)

als freie Teilchen treten nur farblose Kombinationen auf

dies ist Hypothese! Braucht wieder experimentelle Bestätigung.

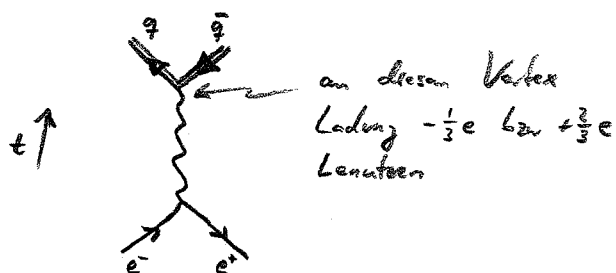
\rightarrow stabilere innere Struktur der Hadronen.

Hadronerzeugung in e^+e^- -Kollisionen

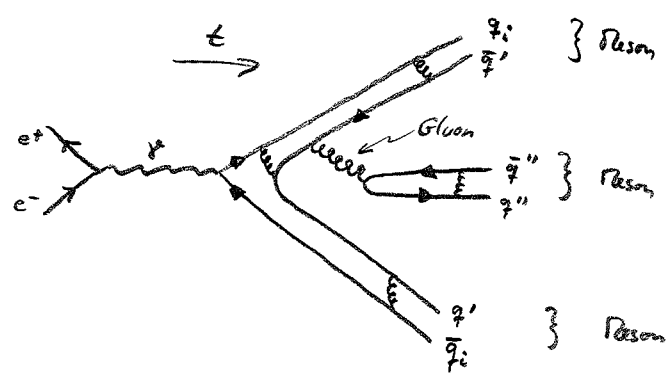
Quarks sind (el.) geladen (s.o.)

\rightarrow Spin em. Wur, $\hat{=} QED$

Idee: $e^+e^- \rightarrow \gamma \rightarrow q\bar{q}$



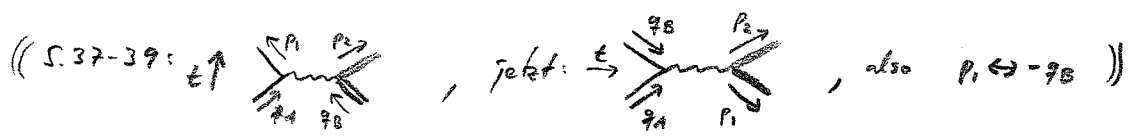
genauer:
[z.B. SLAC, LEP]



können die erste Stufe dieses Prozesses mit den QED-Regeln aus Kapitel 4 berechnen, analog zu "e⁺+e⁻ → γ → μ⁺+μ⁻":

Wähle CMS, E ≡ Energie des einl. e⁻

Q_i ≡ Ladung des q_i (in Einheiten von e), m_i ≡ Masse des q_i



$$\Rightarrow \langle |M|^2 \rangle \stackrel{(S.39)}{=} \sum_{\substack{\text{Farben} \\ \text{Flavours } i}} \frac{8Q_i^2 e^4}{(q_1 + q_2)^4} \left\{ q_1 p_1 q_2 p_2 + q_1 p_2 p_1 q_2 + m_i^2 q_1 q_2 + m_e^2 p_1 p_2 + 2m_e^2 m_i^2 \right\}$$

CMS: $\vec{q}_2 = -\vec{q}_1, \vec{p}_2 = -\vec{p}_1$
 E-Erhaltung: $2E = E_1 + E_2 = 2E \Rightarrow E_1 = E_2 = E$
 $\vec{q}_1^2 + m_e^2 = \vec{p}_1^2 + m_i^2$

$$= \sum \frac{8Q_i^2 e^4}{(2E)^4} \left\{ (E^2 - \vec{q}_1 \vec{p}_1)^2 + (E^2 + \vec{q}_1 \vec{p}_1)^2 + m_i^2 (E^2 + \vec{q}_1^2) + m_e^2 (E^2 + \vec{p}_1^2) + 2m_e^2 m_i^2 \right\}$$

$$= \sum \frac{Q_i^2 e^4}{E^4} \left\{ E^4 + m_e^2 E^2 + m_i^2 E^2 + (E^2 - m_e^2)(E^2 - m_i^2) \cos^2 \theta \right\}$$

↙ \vec{q}_1, \vec{p}_1

also folgt insgesamt für den totalen Wirkungsquerschnitt

$$\sigma_{\text{tot}} = \int d\Omega \frac{d\sigma}{d\Omega} = \int_0^{2\pi} d\phi \int_0^\pi d\theta \sin\theta \frac{1}{(8\pi)^2} \frac{\sqrt{E^2 - m_i^2}}{\sqrt{E^2 - m_e^2}} \frac{\langle |M|^2 \rangle}{(2E)^2} \theta(E - m_i)$$

↙ $\int_{-1}^1 du, u = \cos\theta$

$$= \sum_{\substack{\text{Farben} \\ \text{Flavours } i}} \frac{\pi}{3} \frac{Q_i^2 \alpha_{\text{EM}}^2}{E^2} \frac{\sqrt{1 - m_i^2/E^2}}{\sqrt{1 - m_e^2/E^2}} \left(1 + \frac{1}{2} \frac{m_e^2}{E^2}\right) \left(1 + \frac{1}{2} \frac{m_i^2}{E^2}\right) \theta(E - m_i)$$

$$\approx N_c \cdot \sum_i Q_i^2 \cdot \frac{\pi}{3} \left(\frac{\alpha_{\text{EM}}}{E}\right)^2 \quad \text{für } E \gg m_i \gg m_e$$

↙ $N_c \equiv \sum_{\text{Farben}}$